

## บทที่ 3

### อัลกอริทึมที่น่าสนใจ : อัลกอริทึมดับเบลลีลิปส์

สำหรับงานวิจัยนี้จะนำเสนอแนวทางใหม่ ใช้ในการทำอีควาไลเซชันแบบบอด (Blind Equalization) ที่มีข้อว่า อัลกอริทึมดับเบลลีลิปส์ (Double-Ellipse Algorithm : DEA) โดย อัลกอริทึมดับเบลลีลิปส์ พยายามรวมข้อดี ที่มีอยู่ในอัลกอริทึมคอนแสตนนมอดคูลัส (Constant Modulus Algorithm : CMA) และอัลกอริทึมรีดิวคอนสเตลเลชัน (Reduced Constellation Algorithm : RCA) ไว้ด้วยกัน อัลกอริทึมนี้จะแตกต่างจากอัลกอริทึมมัลติมอดคูลัส (Multimodulus Algorithm : MMA) ตรงที่มีส่วนของเทอมข้าม (Cross-Term) (ส่วนที่ใช้ ยืนยันความสัมพันธ์ของจำนวนจริงและจำนวนจินตภาพ) และจะแตกต่างจากอัลกอริทึมสแควร์ คอนทัวร์ (Square Contour Algorithm : SCA) ตรงที่ อัลกอริทึมสแควร์คอนทัวร์จะมีลักษณะ โครงร่างของความผิดพลาดที่เท่ากับศูนย์ (Zero-Error Contour) เป็นทรงสี่เหลี่ยม ซึ่ง อัลกอริทึมสแควร์คอนทัวร์สามารถทำงานบนสัญญาณข้อมูลแบบ QAM ได้ดี แต่ให้ผลที่ไม่ดีเมื่อ ทำงานบนสัญญาณข้อมูลแบบ PSK ในขณะที่อัลกอริทึมดับเบลลีลิปส์จะเป็นส่วนขยายของ อัลกอริทึมคอนแสตนนมอดคูลัส แต่ตัวอัลกอริทึมดับเบลลีลิปส์จะรวมเอาอัลกอริทึมคอนแสตนนมอดคูลัสเป็นกรณีพิเศษ ซึ่งเราจะยืนยันในขั้นตอนต่อไป ประสิทธิภาพของอัลกอริทึมดับเบลลีลิปส์จะ ถูกทดสอบบนสัญญาณข้อมูลแบบ 16-QAM, 64-QAM และ 256-QAM ผลที่ได้จะถูกนำไป เปรียบเทียบกับอัลกอริทึมคอนแสตนนมอดคูลัสและอัลกอริทึมรีดิวคอนสเตลเลชัน

#### 3.1 ความรู้พื้นฐานของสมการวงรี

เมื่อเราพิจารณาสมการวงรี

$$\frac{(x_1 - x_1^*)^2}{a} + \frac{(x_2 - x_2^*)^2}{b} = R \quad (3.1)$$

โดยที่ ค่า  $a$  และ  $b$  แทนขนาดของแกนหลัก (Major Axis) กับแกนรอง (Minor Axis) ของวงรี ตามลำดับ ค่า  $R$  ค่าที่ใช้กำหนดคุณค่ามีของวงรี และค่า  $x_1^*$  และ  $x_2^*$  ใช้กำหนดศูนย์กลางของวงรีใน ระนาบ 2 มิติ ซึ่งตัวแปร 3 ตัวแรกเป็นตัวแปรที่ใช้ในการกำหนดขนาดของวงรี ในกรณีที่ ค่า  $a$  และ  $b$  คงที่ ค่า  $R$  จะเป็นตัวแปรกำหนดขนาดของวงรี

จากสมการที่ (3.1) เราสามารถหาจุดบนแกนหลักและแกนรองด้วยสมการ

$$x_{Major} = \sqrt{a \cdot \left( R - \frac{(x_2')^2}{b} \right)} + x_1' \quad (3.2)$$

$$x_{Minor} = \sqrt{b \cdot \left( R - \frac{(x_1')^2}{a} \right)} + x_2' \quad (3.3)$$

และเมื่อเราให้ค่า  $a$  และ  $b$  มีค่าเท่ากับ 1 ผลที่ได้คือ สมการวงกลมทั่วไป

$$(x_1 - x_1')^2 + (x_2 - x_2')^2 = R \quad (3.4)$$

ซึ่งความสัมพันธ์ระหว่างสมการวงรีกับสมการวงกลมนี้ จะถูกนำมาใช้ในการสร้างความสัมพันธ์ระหว่างอัลกอริทึมคอนແສຕນมอดคูลัสและอัลกอริทึมดับเบิลอีลิปส์

### 3.2 ที่มาของอัลกอริทึมดับเบิลอีลิปส์

จากสมการคostenท์ฟังก์ชัน (Cost Function) ของอัลกอริทึมคอนແສຕນมอดคูลัส

$$J_{CMA}(n) = E \left[ \left( |y(n)|^2 - R_{CMA}^2 \right)^2 \right] \quad (3.5)$$

เราสามารถที่จะกระจายส่วนของค่า  $|y(n)|^2$  ให้อยู่ในรูปค่ายกกำลังสองของส่วนที่เป็นจำนวนจริง และจำนวนจินตภาพของผลลัพธ์ที่ได้จากอีควาไลเซอร์(Equalizer) ซึ่งมีลักษณะดังนี้

$$|y(n)|^2 = y_R(n)^2 + y_I(n)^2 \quad (3.6)$$

เมื่อเรานำผลที่ได้จากสมการที่ (3.6) แทนลงในสมการที่ (3.5) ทำให้สมการคostenท์ฟังก์ชันของอัลกอริทึมคอนແສຕນมอดคูลัสสามารถเขียนให้อยู่ในรูปใหม่ ด้วยสมการ

$$J_{CMA}(n) = E \left[ \left( y_R(n)^2 + y_I(n)^2 - R_{CMA}^2 \right)^2 \right] \quad (3.7)$$

จะพิจารณาได้ว่า สมการที่ (3.7) คือสมการวงกลมที่มีจุดศูนย์กลางที่  $(0,0)$  ในระบบ  $(y_R(n), y_I(n))$  โดยที่มีรัศมีเท่ากับ  $R_{CMA}^2$

จากสมการที่ (3.7) เมื่อเราเพิ่มค่าคงที่สองค่าลงไปในสมการ กำหนดให้  $R_1$  และ  $R_2$  แทนค่าคงที่ที่เพิ่มลงไปในสมการ โดยที่ค่าคงที่นี้ มีค่าที่ไม่เท่ากัน เราจะได้สมการที่ใช้อธินาวยังรี

$$J(n) = E \left[ \left( \frac{y_R(n)^2}{R_1} + \frac{y_I(n)^2}{R_2} - R_{CMA}^2 \right)^2 \right] \quad (3.8)$$

สมการนี้มีจุดศูนย์กลางอยู่ที่  $(0,0)$  ในระบบ  $(y_R(n), y_I(n))$  โดยมีตัวแปร  $R_1$  และ  $R_2$  แทนค่าของแกนหลักและแกนรอง การเพิ่มค่าคงที่ให้กับสมการที่ (3.7) นั้น ไม่สามารถเพิ่มประสิทธิภาพได้ฯ เราจึงแยกค่ายกกำลังสองของสมการที่ (3.8) ให้อยู่ในรูปดังนี้

$$J(n) = E \left[ \left( \frac{y_R(n)^2}{R_1} + \frac{y_I(n)^2}{R_2} - R_{CMA}^2 \right) \cdot \left( \frac{y_R(n)^2}{R_1} + \frac{y_I(n)^2}{R_2} - R_{CMA}^2 \right) \right] \quad (3.9)$$

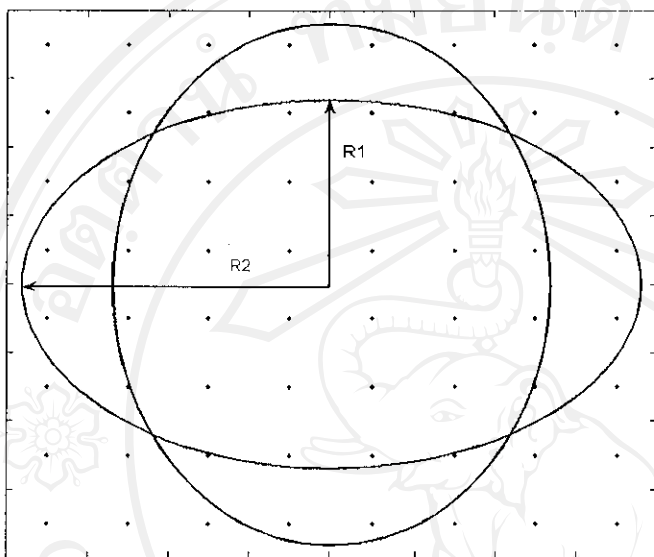
เราพบว่าสมการที่ (3.9) ยังอยู่ในรูปของสมการค่าเฉลี่ยของกำลังสองของความผิดพลาด (Mean Square Error) แต่ในการทำอีกครั้งหนึ่น เราสามารถพนสมการคอกสทฟิงก์ชันที่ไม่ได้อยู่ในรูปของสมการค่าเฉลี่ยของกำลังสองของความผิดพลาด ตัวอย่างของสมการนี้สามารถพบได้จากผลงานของ Larimore และ Treichler (1983) ซึ่งมีลักษณะสมการคอกสทฟิงก์ชันดังนี้

$$J_{CMA,p-q}(n) = E \left[ \left( |y(n)|^p - R_{CMA,p-q}^p \right)^q \right] \quad (3.10)$$

ให้  $p$  และ  $q$  เป็นจำนวนเต็มที่มีค่าเป็นบวกเสมอ เราพบว่าสมการที่ (3.10) จะไม่ได้อยู่ในรูปของสมการค่าเฉลี่ยของกำลังสองของความผิดพลาดเมื่อค่า  $q$  เท่ากับ 3 เหร่เดียวกันกับกรณีของสมการที่ (3.10) เราจะศึกษาสมการคอกสทฟิงก์ชันที่ไม่ได้อยู่ในรูปของสมการค่าเฉลี่ยของกำลังสองของความผิดพลาด ซึ่งเกิดจากการลับตำแหน่งของค่าคงที่ในสมการที่ (3.9) โดยสมการใหม่นี้ ภายใต้สมมุติฐานการเป็นอิสระต่อกันของส่วนจำนวนจริงและจินตภาพ เทอมทั้งสองของสมการทำหน้าที่ลดความผิดพลาดของผลลัพธ์บริเวณรีตัวแgnenannan และแกนแนวตั้ง ลักษณะสมการมีดังนี้

$$J'(n) = E \left[ \left( \frac{y_R(n)^2}{R_1} + \frac{y_I(n)^2}{R_2} - R_{CMA}^2 \right) \cdot \left( \frac{y_R(n)^2}{R_2} + \frac{y_I(n)^2}{R_1} - R_{CMA}^2 \right) \right] \quad (3.11)$$

การลดความผิดพลาดของคอสท์ฟังก์ชันจะเกิดจากการลดขนาดของค่าภายในเทอมทั้งสอง การที่เรากำหนดให้ส่วนจำนวนจริงและจำนวนจินตภาพมีอยู่ในรูปเทอมข้าม จะทำให้สามารถระบุตำแหน่งนั้นระนาบของคอนสเตลเลชัน ลักษณะของโครงร่างของความผิดพลาดที่เท่ากับศูนย์ของสมการที่ (3.11) นั้น สามารถพิจารณาได้จากรูปที่ 3.1



รูปที่ 3.1 ลักษณะของบริเวณที่คอสท์ฟังก์ชันตามอัลกอริทึมดับเบิลอีลิพส์มีค่าเท่ากับศูนย์

เรารีบกสมการที่ (3.11) ว่า อัลกอริทึมดับเบิลอีลิพส์ โดยอัลกอริทึมดับเบิลอีลิพส์พยายามจะเพิ่มส่วนที่ใช้ในการระบุเฟส เพื่อไปยังสมการคอสท์ฟังก์ชันของอัลกอริทึมคอนແສตนมอดดูลัส ลักษณะของการระบุเฟสจะพบในคอสท์ฟังก์ชันที่สามารถหาค่าเฟสได้ รูปที่ 3.2 ธรรมชาญลักษณะของโครงร่างของความผิดพลาดที่เท่ากับศูนย์ที่ไม่สามารถหาค่าเฟสได้ (Phase Blind) แต่โครงร่างของความผิดพลาดที่เท่ากับศูนย์ของอัลกอริทึมสแควรอนทัวร์ และ อัลกอริทึมดับเบิลอีลิพส์มีส่วนที่ใช้ในการกำหนดเฟสของผลลัพธ์ที่ได้จากอิควาไลเซอร์ (Equalizer) ในทางตรงกันข้าม กรณีที่เราให้ค่าของ  $R_1$  และ  $R_2$  เท่ากับ 1 เราจะได้สมการคอสท์ฟังก์ชันของอัลกอริทึมคอนແສตนมอดดูลัส แต่เมื่อเราพิจารณาอัลกอริทึมดับเบิลอีลิพส์ที่ถูกกำหนดด้วยสมการที่ (3.11) เราพบว่า สมการคอสท์ฟังก์ชันสามารถมีค่าเป็นห้องคลุมและบวก เพื่อที่จะให้สมการคอสท์ฟังก์ชันมีค่าบวกเสมอ เราสามารถทำได้สองวิธี คือ การให้ค่ายกกำลังของเทอมทั้งสองมีค่าเป็นเลขคู่ และอีกวิธีคือการใช้ค่าแอฟโซลูท (Absolute) ของเทอมทั้งสอง การทำให้ค่าของคอสท์ฟังก์ชันมีค่าเป็นบวกเสมอนี้ ทำให้การทำงานแตกต่างจากการทำงานของอัลกอริทึมดับเบิลอีลิพส์ที่ถูกกำหนดไว้ ในสมการที่

(3.11) เนื่องจากการที่ทำให้สมการเป็นบวกเสมอ บริเวณที่ทำให้ค่าสหพิงก์ชันมีค่าต่ำสุด จะอยู่ บริเวณเด่นของวงรีทั้งสอง แต่ในกรณีที่เราอนุญาตให้สมการค่าสหพิงก์ชันมีค่าเป็นลบได้ จะทำให้ บริเวณที่มีค่าต่ำสุด เป็นค่าลบ ก็อ บริเวณด้านในวงรีที่ไม่ใช่บริเวณที่ทับกัน (บริเวณส่วนตัดกันตรง กลาง) ซึ่งเราจะกล่าวถึงอีกรึ้ว ในหัวข้อของอัลกอริทึมดับเบลลีพลัสกับความหมายของค่ายกกำลัง

ความสามารถจัดคุณให้สมการที่ (3.11) เป็นกรณีพิเศษของสมการหลักที่เราให้ชื่อว่า อัลกอริทึมดับเบลลีพลัสแบบเจนเนอรอลไลส์ (Generalized Double-Ellipse Algorithm : GDEA) โดยการให้ค่ายกกำลังของเทอมภายในมีค่าเท่ากับ  $p$  (เป็นเลขจำนวนเต็ม)

สมการค่าสหพิงก์ชันของอัลกอริทึมดับเบลลีพลัสแบบเจนเนอรอลไลส์มีลักษณะดังนี้

$$J_{GDEA}(n) = E \left[ \left( \frac{y_R^2}{R_1} + \frac{y_I^2}{R_2} - R_{CMA}^2 \right)^p \cdot \left( \frac{y_R^2}{R_2} + \frac{y_I^2}{R_1} - R_{CMA}^2 \right)^p \right] \quad (3.12)$$

เมื่อเราหาอนุพันธ์อันดับที่ 1 ของสมการที่ (3.12) เพื่อกับค่าสัมประสิทธิ์ของอีคิว่าไลเซอร์ และ ประมาณค่าของฟังก์ชันการคาดหมาย (Expectation Function) ด้วยค่าในขณะนั้น เราจะได้ สมการที่ใช้ในการปรับค่าสัมประสิทธิ์ตามอัลกอริทึมดับเบลลีพลัสแบบเจนเนอรอลไลส์ ด้วย วิธีการก้นหาแบบสโตคาสติกกราเดียน (Stochastic Gradient) ดังนี้

$$c_{n+1} = c_n - \alpha \cdot \hat{\nabla}_c J_{GDEA}(n) \quad (3.13)$$

$$= c_n - \alpha \cdot e_{GDEA}(n) \cdot x^*(n) \quad (3.14)$$

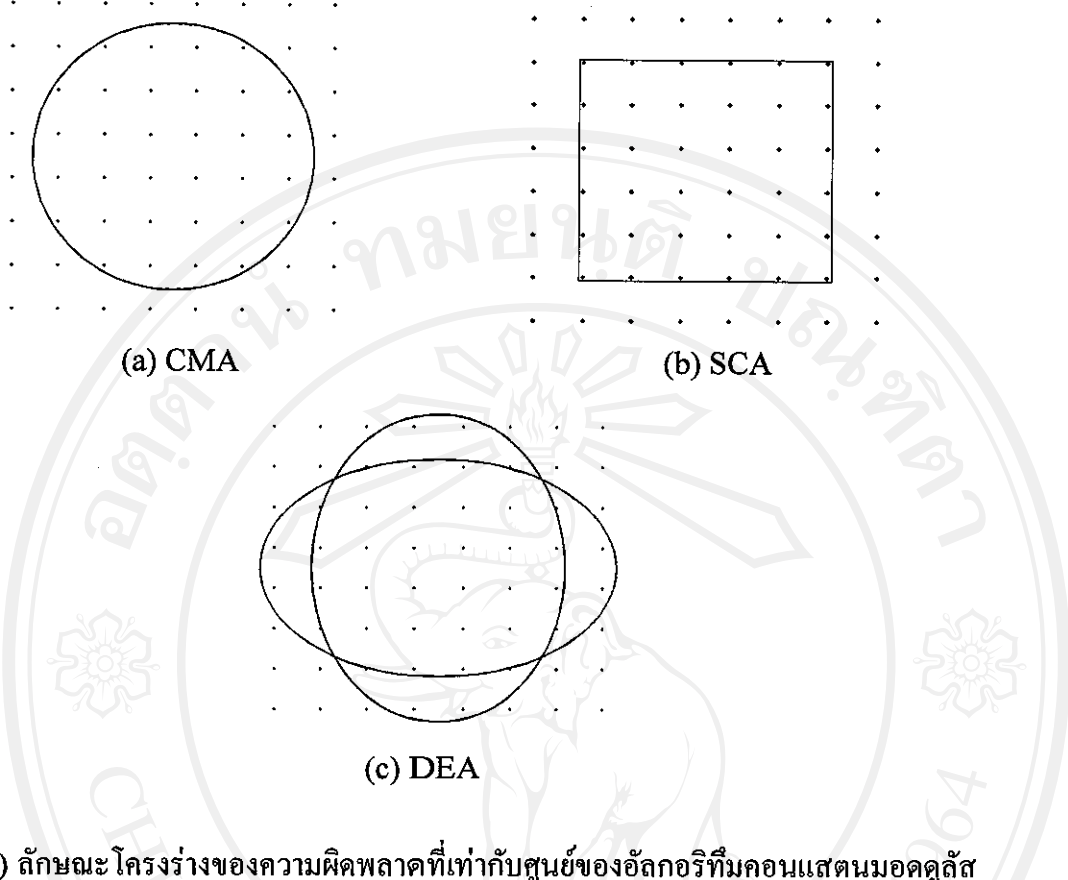
โดยสัญญาณที่ผิดพลาดถูกแบ่งเป็นสองส่วน  $e_{GDEA}(n) = e_{R,GDEA}(n) \cdot y_R + j \cdot e_{I,GDEA}(n) \cdot y_I$

$$e_{R,GDEA}(n) = \left( \frac{y_R^2}{R_1} + \frac{y_I^2}{R_2} - R_{CMA}^2 \right)^{p-1} \cdot \left( \frac{y_R^2}{R_2} + \frac{y_I^2}{R_1} - R_{CMA}^2 \right)^p \cdot \frac{1}{R_1} \quad (3.15)$$

$$+ \left( \frac{y_R^2}{R_1} + \frac{y_I^2}{R_2} - R_{CMA}^2 \right)^p \cdot \left( \frac{y_R^2}{R_2} + \frac{y_I^2}{R_1} - R_{CMA}^2 \right)^{p-1} \cdot \frac{1}{R_2}$$

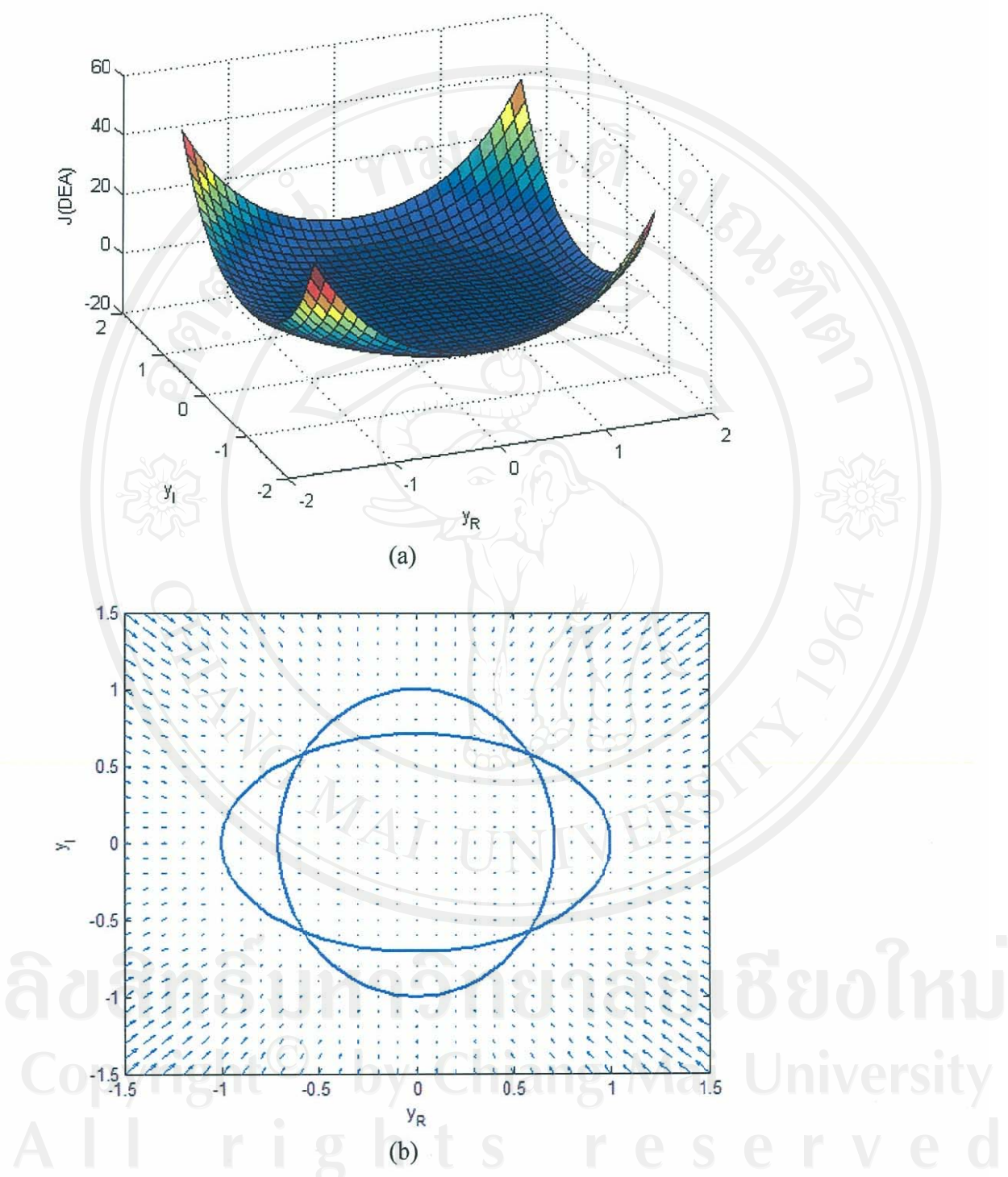
$$e_{I,GDEA}(n) = \left( \frac{y_R^2}{R_1} + \frac{y_I^2}{R_2} - R_{CMA}^2 \right)^{p-1} \cdot \left( \frac{y_R^2}{R_2} + \frac{y_I^2}{R_1} - R_{CMA}^2 \right)^p \cdot \frac{1}{R_2} \quad (3.16)$$

$$+ \left( \frac{y_R^2}{R_1} + \frac{y_I^2}{R_2} - R_{CMA}^2 \right)^p \cdot \left( \frac{y_R^2}{R_2} + \frac{y_I^2}{R_1} - R_{CMA}^2 \right)^{p-1} \cdot \frac{1}{R_1}$$

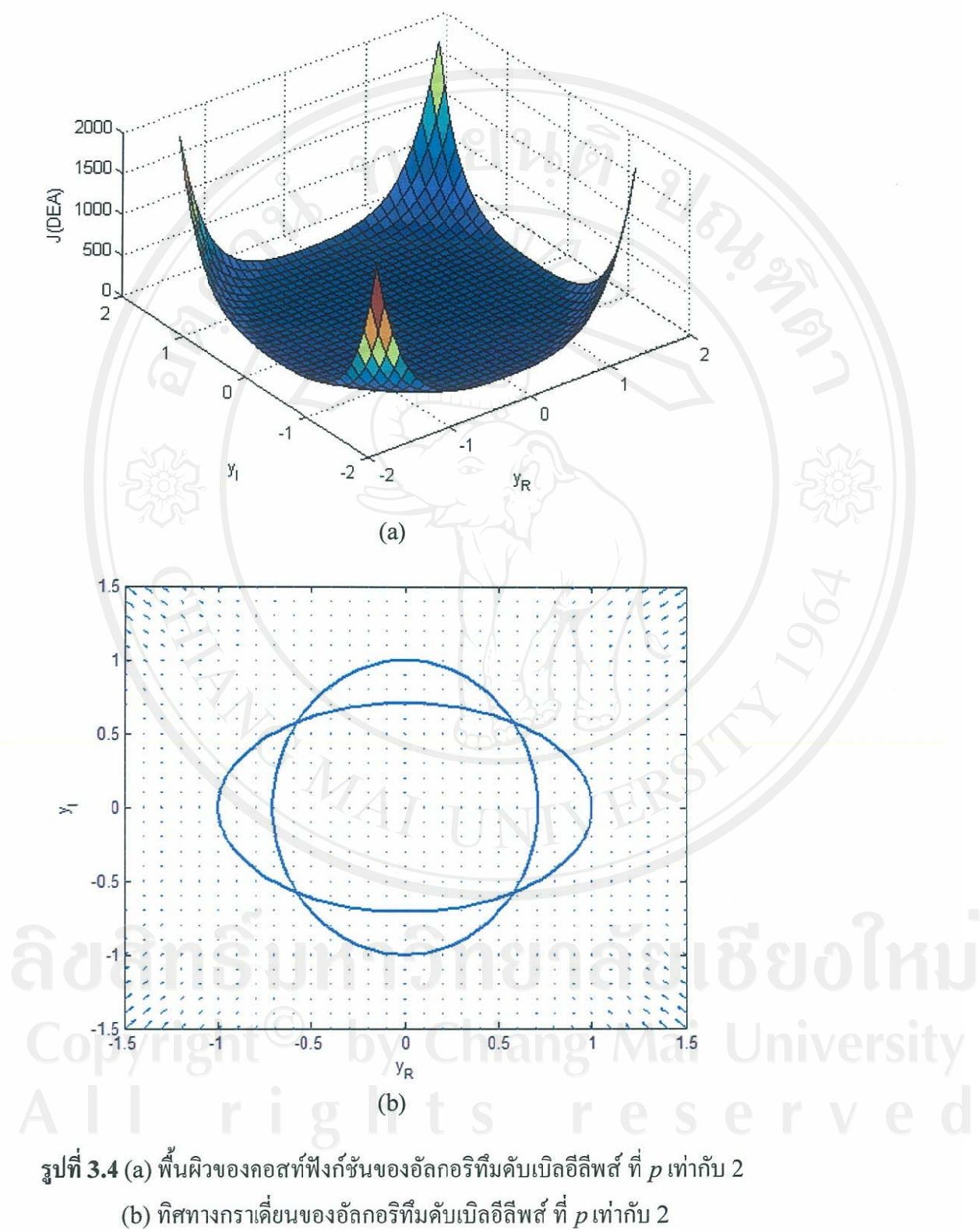


รูปที่ 3.2 (a) ลักษณะโครงสร้างของความผิดพลาดที่เท่ากับศูนย์ของอัลกอริทึมคอนແສຕນมอคคูลัส  
ที่มีลักษณะของวงกลมจึงไม่สามารถระบุเฟสได้ (b) ลักษณะโครงสร้างของความผิดพลาดที่เท่ากับ  
ศูนย์ของอัลกอริทึมสแคគคอนหัวร์มีส่วนที่ใช้ระบุเฟสคือมุมของสี่เหลี่ยม (c) ลักษณะโครงสร้าง  
ของความผิดพลาดที่เท่ากับศูนย์ของอัลกอริทึมดับเบิลอิลิพส์ที่เพิ่มเติมส่วนของระบุเฟสให้  
กับอัลกอริทึมคอนແສຕນมอคคูลัส

เราสามารถพิจารณาลักษณะ โครงสร้างของความผิดพลาดที่เท่ากับศูนย์ และทิศทางของกราเดียนของสมการcosที่ฟังก์ชันตามแนวคิดอัลกอริทึ่มดับเบิลอีลิพส์แบบเจนเนอรอลไลส์ ที่จำนวน  $p$  ต่างๆ ได้จากรูปที่ 3.3 ถึงรูปที่ 3.6 สำหรับอัลกอริทึ่มดับเบิลอีลิพส์นั้น ค่า  $p$  มีผลต่อการทำงานของอัลกอริทึ่ม โดยที่ค่าของ  $p$  เป็นตัวแปรที่ใช้ในการแบ่งการทำงานของอัลกอริทึ่มดับเบิลอีลิพส์ โดยการทำงานของอัลกอริทึ่มดับเบิลอีลิพส์จะถูกแบ่งออกเป็นสองแบบ คือ กรณีที่มีค่า  $p$  เป็นเลขคี่ ( $1, 3, 5, \dots$ ) และกรณีที่ค่า  $p$  เป็นเลขคู่ ( $2, 4, 6, \dots$ ) ซึ่งแต่ละแบบมีคุณสมบัติที่แตกต่างกันมาก เราจะกล่าวถึงจุดนี้ในหัวข้อต่อไป

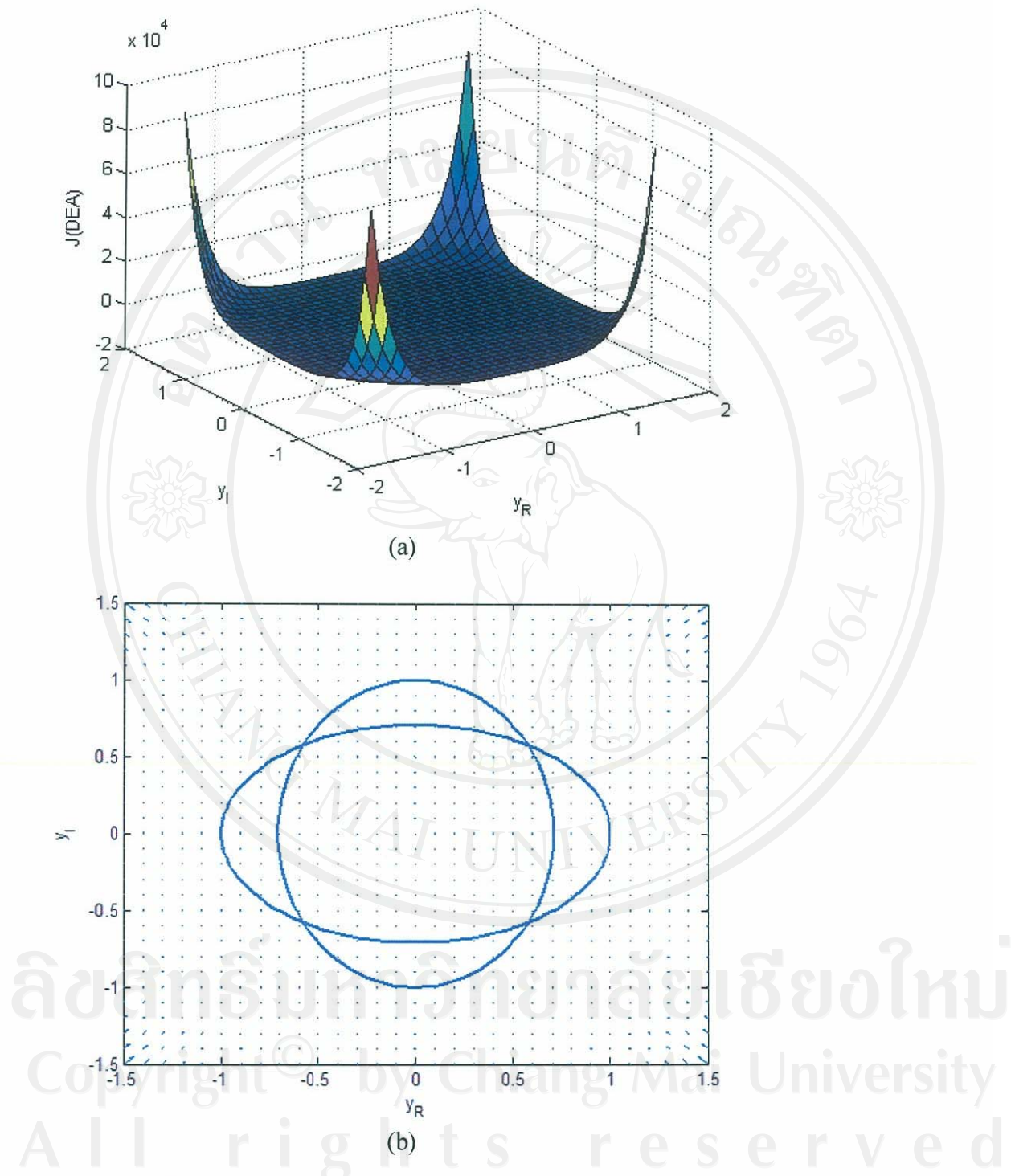


รูปที่ 3.3 (a) พื้นผิวของค่าฟังก์ชันของอัลกอริทึมดับเบิลอีลิปส์ ที่  $p$  เท่ากับ 1  
 (b) ทิศทางกราเดียนของอัลกอริทึมดับเบิลอีลิปส์ ที่  $p$  เท่ากับ 1



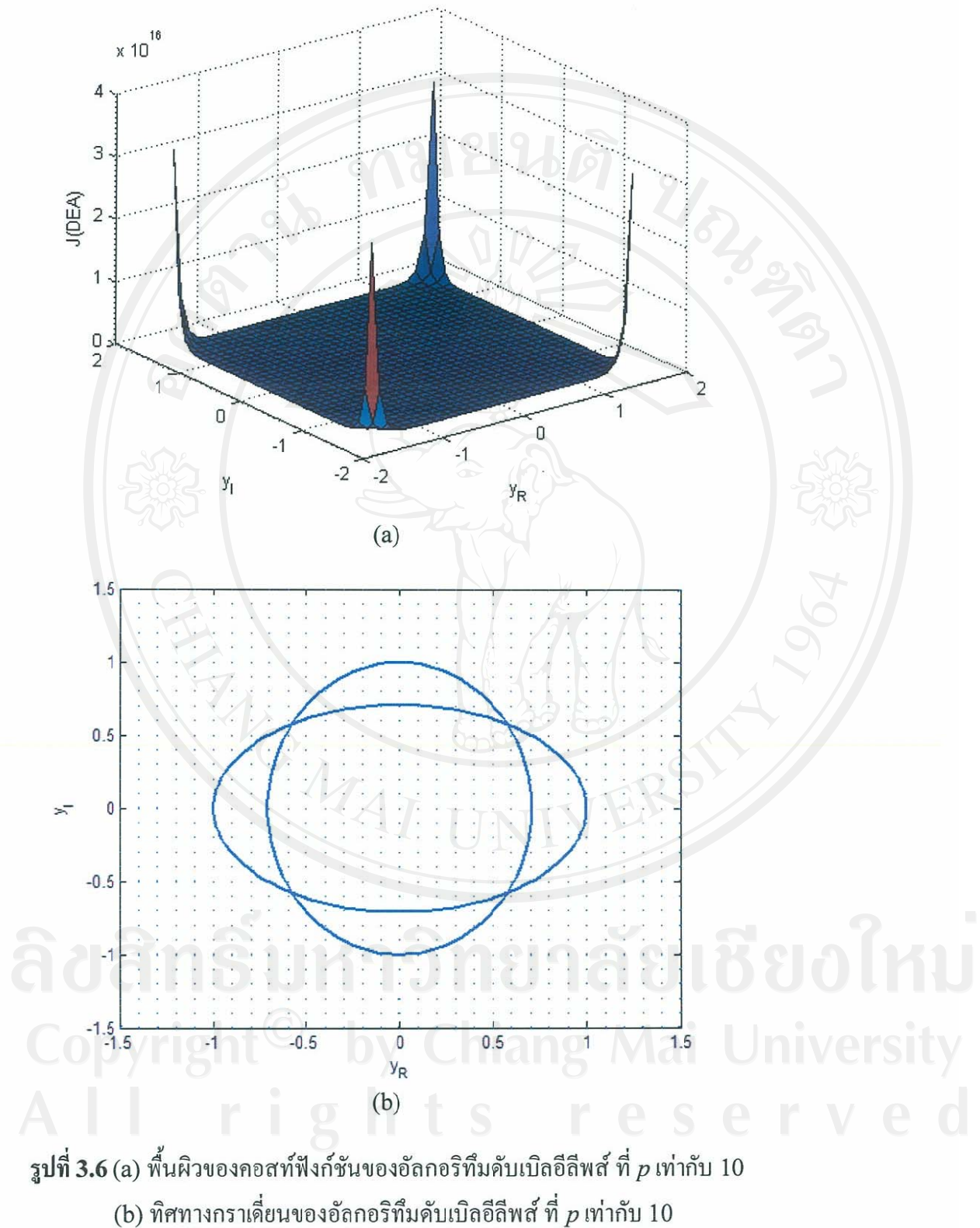
รูปที่ 3.4 (a) พื้นผิวของกอสท์ฟังก์ชันของอัลกอริทึมดับเบิลอีลิปส์ ที่  $p$  เท่ากับ 2

(b) ทิศทางการเดินของอัลกอริทึมดับเบิลอีลิปส์ ที่  $p$  เท่ากับ 2



รูปที่ 3.5 (a) พื้นผิวของค่าที่ฟังก์ชันของอัลกอริทึมดับเบิลอีลิปส์ ที่  $p$  เท่ากับ 3

(b) ทิศทางกราเดียนของอัลกอริทึมดับเบิลอีลิปส์ ที่  $p$  เท่ากับ 3



รูปที่ 3.6 (a) พื้นผิวของค่าที่ฟังก์ชันของอัลกอริทึมดับเบลอีลิปส์ ที่  $p$  เท่ากับ 10

(b) ทิศทางการเดินของอัลกอริทึมดับเบลอีลิปส์ ที่  $p$  เท่ากับ 10

เมื่อพิจารณาลักษณะพื้นผิวของคอสท์ฟิงก์ชันในพื้นที่ 3 มิติได้จากรูปที่ 3.3(a) เราสามารถสังเกตได้ว่า บริเวณที่มีค่าเท่ากับศูนย์จะอยู่บนเส้นของวงรีสองวงที่ซ้อนทับกัน และบริเวณที่มีค่าน้อยมากแต่ยังไม่เท่ากับศูนย์จะเป็นพื้นที่รอบวงรี รูปที่ 3.3(b) แสดงทิศทางของรายเดี่ยนของสมการคอสท์ฟิงก์ชันบริเวณที่มีความชันสูงนั้นจะอยู่รอบนอกของโครงสร้างวงรี บริเวณที่อยู่ด้านในจะมีความชันต่ำเนื่องจากสมการคอสท์ฟิงก์ชันมีลักษณะของการคูณ การคูณของบริเวณที่มีค่าน้อย ผลคือค่าที่ยิ่งต่ำกว่าเดิม ทำให้ความชันบริเวณนี้จึงต่ำกว่าบริเวณรอบนอก จากรูปที่ 3.4(a) แสดงพื้นผิวของคอสท์ฟิงก์ชันตามแนวคิดอัลกอริทึมดับเบลอลีพส์แบบเจนเนอรอลไลส์ที่  $p = 2$  เราสามารถสังเกตพื้นที่ราบที่มากขึ้นเมื่อเทียบกับรูปที่ 3.3(a) จากรูปนี้เราไม่สามารถสร้างรายละเอียดได้มากเนื่องจากบริเวณที่อยู่ภายในโครงสร้างวงรีที่ตัดกัน และบริเวณที่อยู่รอบโครงสร้างวงรีที่ตัดกันภายนอกนั้นมีค่าต่ำมาก และเมื่อพิจารณารูปที่ 3.4(b) เราจะสังเกตได้ว่า ทิศทางของรายเดี่ยนจะไม่ซัดเจนเมื่อเทียบกับรูปที่ 3.3(b) ข้อสังเกตนี้สามารถพิจารณาได้กับพื้นผิวของคอสท์ฟิงก์ชันตามแนวคิดอัลกอริทึมดับเบลอลีพส์แบบเจนเนอรอลไลส์ที่  $p = 3$  และที่  $p = 10$  จากรูปที่ 3.5(a) และ 3.6(a) ตามลำดับ และเมื่อพิจารณาลักษณะทิศทางของรายเดี่ยนในรูปที่ 3.5(b) และ 3.6(b) ตามลำดับ เราจะพบข้อแตกต่างอย่างชัดเจน

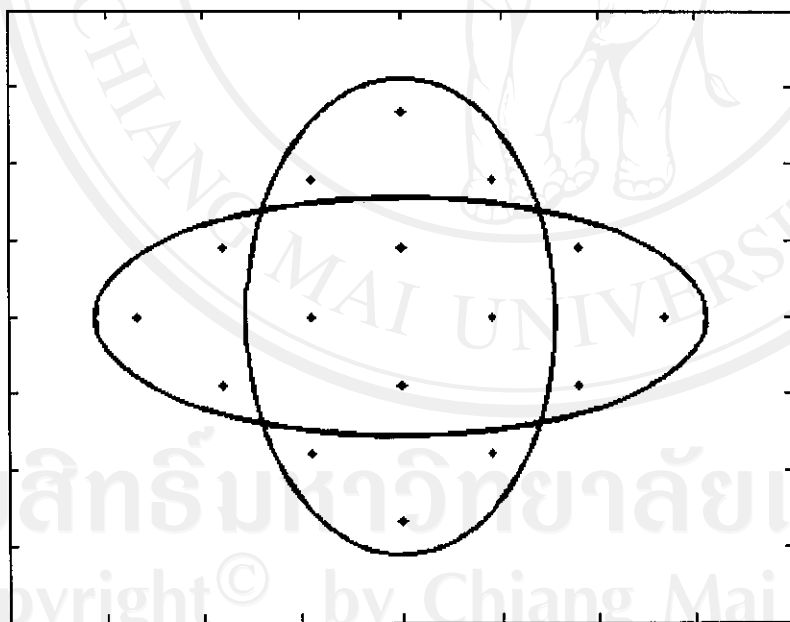
เมื่อพิจารณารูปทั้งหมดข้างต้นแล้ว เราสรุปได้ว่า สำหรับพื้นที่  $p$  ขึ้น ลักษณะพื้นผิวของคอสท์ฟิงก์ชันจะแบบราบ เนื่องจากบริเวณที่เคยมีปริมาณค่าน้อย (ใกล้บริเวณเส้นของวงรีทั้งสอง) ซึ่งน้อยกว่าหนึ่งแต่ยังไม่เท่ากับศูนย์นั้น เมื่อถูกยกค่ายกกำลังเพิ่มขึ้น ผลที่ได้คือมีค่าใกล้เคียงศูนย์มากขึ้น ทำให้บริเวณพื้นที่ราบแผ่นขยายออกไปทุกครั้งที่มีการเพิ่มค่ายกกำลัง ปรากฏการณ์นี้สามารถพิจารณาได้จากทิศทางของรายเดี่ยนเมื่อ  $p$  เพิ่มขึ้น ทิศทางของรายเดี่ยนจะไม่ซัดเจนเปรียบเทียบได้จากรูปที่ 3.3(b), 3.4(b) และ 3.5(b) และเมื่อพิจารณารูปที่ 3.6(b) ในภาพนี้ค่าของ  $p$  เท่ากับ 10 เรายพบว่า ทิศทางของรายเดี่ยนบริเวณที่เราสนใจนั้น ไม่สามารถสังเกตได้ เป็นผลให้การคูณเข้าหาจุดคำตอบที่เราต้องการนั้น ไปไม่ถึงหรือผิดพลาด เราจึงศึกษาอัลกอริทึมดับเบลอลีพส์แบบเจนเนอรอลไลส์ที่  $p$  เท่ากับ 1 (ใช้อธิบายการทำงานของค่า  $p$  ที่เป็นเลขคู่) และอัลกอริทึมดับเบลอลีพส์แบบแยกโซลูท (ใช้อธิบายการทำงานของค่า  $p$  ที่เป็นเลขคู่)

### 3.3 ผลลัพธ์ที่ได้จากการอัลกอริทึมดับเบลอลีพส์

ในส่วนนี้เราจะกล่าวถึง ผลลัพธ์ที่ได้จากการอัลกอริทึมดับเบลอลีพส์ ซึ่งมีลักษณะที่แตกต่างจากผลลัพธ์ที่ได้จากการอัลกอริทึมรีดิวคอนสเตลเลชัน อัลกอริทึมนั้นมักติดอคูลัส

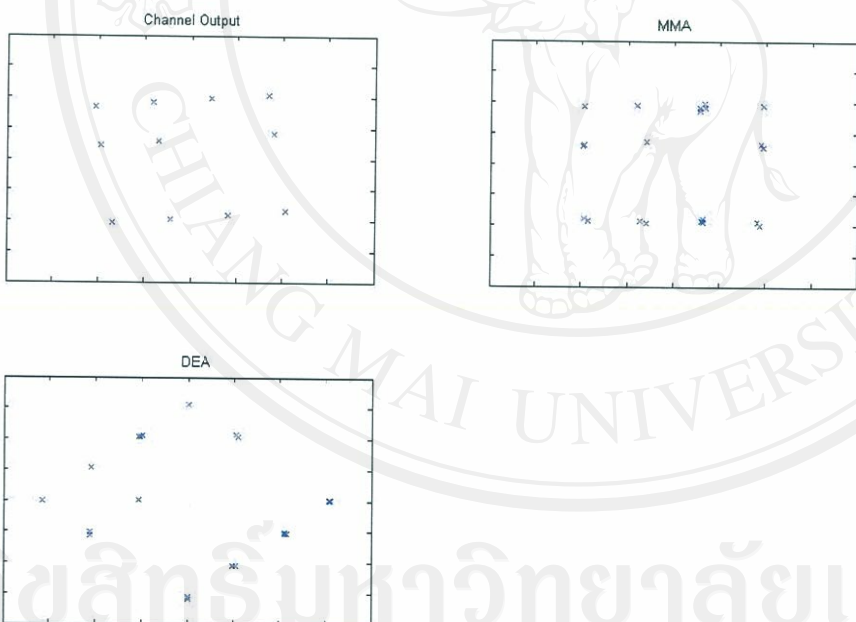
และอัลกอริทึมสแกวคอนทัวต์รังที่ ผลลัพธ์ที่ได้จากอัลกอริทึมดับเบิลอีลิพส์จะหมุนระนาบคอนสเตลเลชันของผลลัพธ์ไป  $\frac{\pi}{4}$  เรเดียน (Radian)

เพื่อที่จะทำให้เข้าใจถึงผลลัพธ์ที่ได้จากอัลกอริทึมดับเบิลอีลิพส์ เราจะพิจารณาโครงร่างของความผิดพลาดที่เท่ากับศูนย์ของอัลกอริทึมดับเบิลอีลิพส์ และลักษณะคอนสเตลเลชันของสัญญาณข้อมูลแบบ QAM ที่เหมาะสมกับอัลกอริทึมนับเบิลอีลิพส์ จากรูปที่ 3.7 แสดงภาพของคอนสเตลเลชันของสัญญาณข้อมูลแบบ 16-QAM ที่ทำให้คอกสท์ฟังก์ชันตามอัลกอริทึมดับเบิลอีลิพส์มีค่าต่ำสุดเมื่ออัตราส่วนระหว่างแกนหลักและแกนรองเท่ากับ 4 เมื่อพิจารณาส่วนที่ขยายออกมานี้ (ตามแกนหลักของวงรีทั้งสอง) เราสามารถสรุปได้ว่า ส่วนนี้ใช้ในการบังคับเฟส ของผลลัพธ์ที่ได้จากอีคาวไอลเซอร์และเนื่องจากส่วนที่ใช้บังคับเฟส นี้อยู่ตามแนวแกนตั้งและแกนนอนผลที่ได้คือ การหมุนคอนสเตลเลชันของผลลัพธ์ที่ได้จากอีคาวไอลเซอร์ไป  $\frac{\pi}{4}$  เรเดียน ด้วยเหตุนี้ การคำนวณหาค่าคงที่ของอัลกอริทึมดับเบิลอีลิพส์บนสัญญาณข้อมูลแบบ QAM มาตรฐาน มีความจำเป็นที่จะต้องหมุนคอนสเตลเลชันของสัญญาณไป  $\frac{\pi}{4}$  เรเดียน

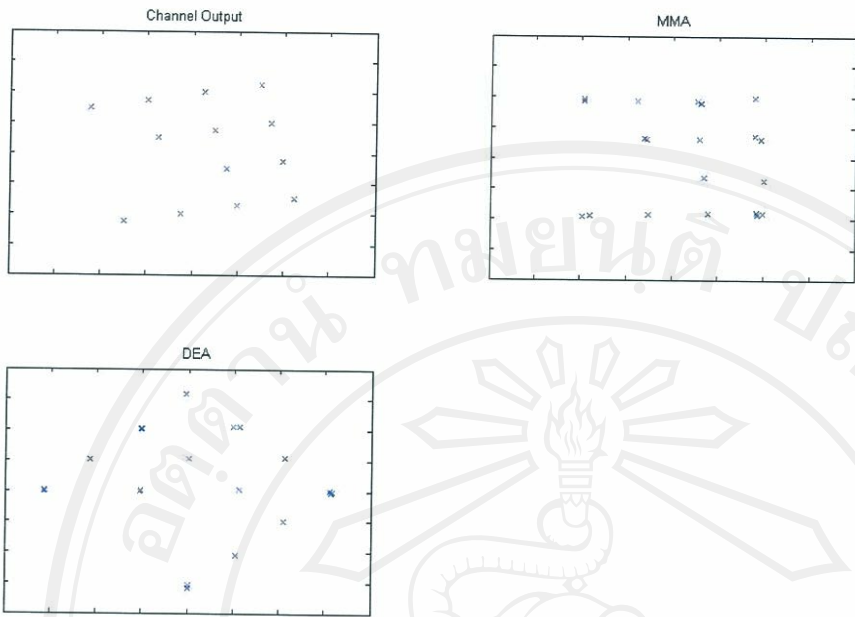


รูปที่ 3.7 ลักษณะของคอนสเตลเลชันของสัญญาณข้อมูลแบบ 16-QAM ที่ทำให้คอกสท์ฟังก์ชันมีค่าต่ำสุด เมื่อขนาดอัตราส่วนระหว่างแกนหลักและแกนรองมีค่าเท่ากับ 4

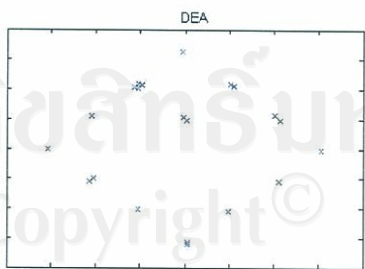
ในรูปที่ 3.7 อธิบายถึงการหมุนคอนสเตลเลชันของผลลัพธ์ที่ได้จากอัลกอริทึมดับเบิลอีลิพส์ เราจะนำผลลัพธ์ที่ได้จากอัลกอริทึมคอนแสตนมอดคูลัสและอัลกอริทึมนัลติมอดคูลัสมาเปรียบเทียบตำแหน่งของสัญญาณที่ได้รับหลังจากการทำอีคิวไอลเซชันด้วยอัลกอริทึมดับเบิลอีลิพส์ ในรูปที่ 3.8 ถึงรูปที่ 3.11 แสดงให้เห็นถึงตำแหน่งของผลลัพธ์ที่ได้จากอีคิวไอลเซอร์ด้วยแนวคิดแบบต่างๆ ในการนำเสนอส่วนนี้อีคิวไอลเซอร์จะทำงานบนสัญญาณข้อมูลแบบ 16-QAM สัญญาณที่ได้รับนั้นจะถูกหมุนระนาบของคอนสเตลเลชันด้วยมุมที่แตกต่างกันออกไป ภายในรูปจะแสดงถึงข้อมูลที่ไม่ได้นำมาทั้ง 16 จุดบนคอนสเตลเลชันจุดประสงค์เพื่อที่จะให้ง่ายต่อการพิจารณาตำแหน่ง ซึ่งตำแหน่งของผลลัพธ์นี้เป็นสิ่งที่ใช้ยืนยันว่า ผลลัพธ์ที่ได้จากอัลกอริทึมดับเบิลอีลิพส์จะถูกหมุนไป  $\frac{\pi}{4}$  เรเดียน เปรียบเทียบกับคอนสเตลเลชันของสัญญาณข้อมูลแบบ QAM (ซึ่งได้จากอัลกอริทึมนัลติมอดคูลัส)



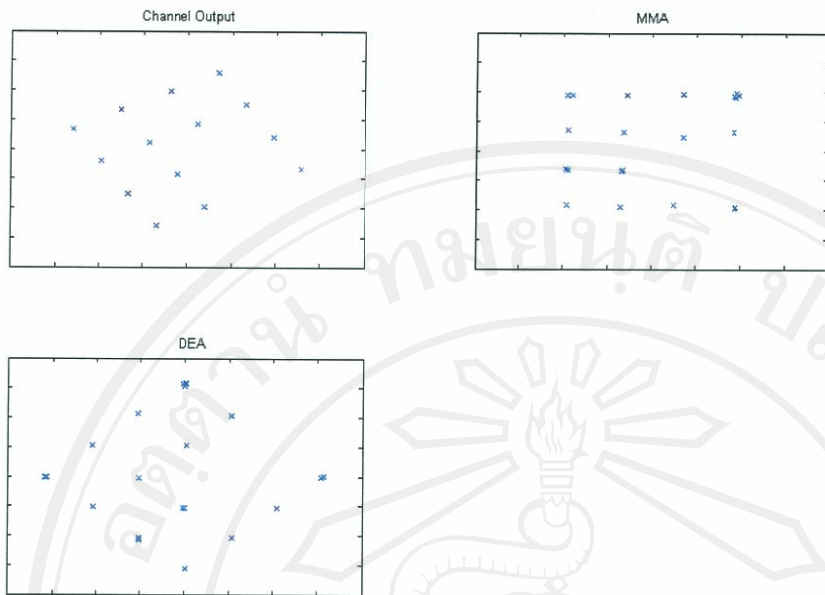
รูปที่ 3.8 ผลลัพธ์หลังจากที่ทำอีคิวไอลเซชันกับสัญญาณข้อมูลแบบ 16-QAM  
ที่ถูกหมุนไป 11.2 องศา (หมุนทวนเข็มนาฬิกา)



รูปที่ 3.9 ผลลัพธ์หลังจากที่ทำอีควาไลเซชันกับสัญญาณแบบ 16-QAM  
ที่ลูกหนุนไป 22.5 องศา (หมุนทวนเข็มนาฬิกา)



รูปที่ 3.10 ผลลัพธ์หลังจากที่ทำอีควาไลเซชันกับสัญญาณข้อมูลแบบ 16-QAM  
ที่ลูกหนุนไป 45 องศา (หมุนทวนเข็มนาฬิกา)



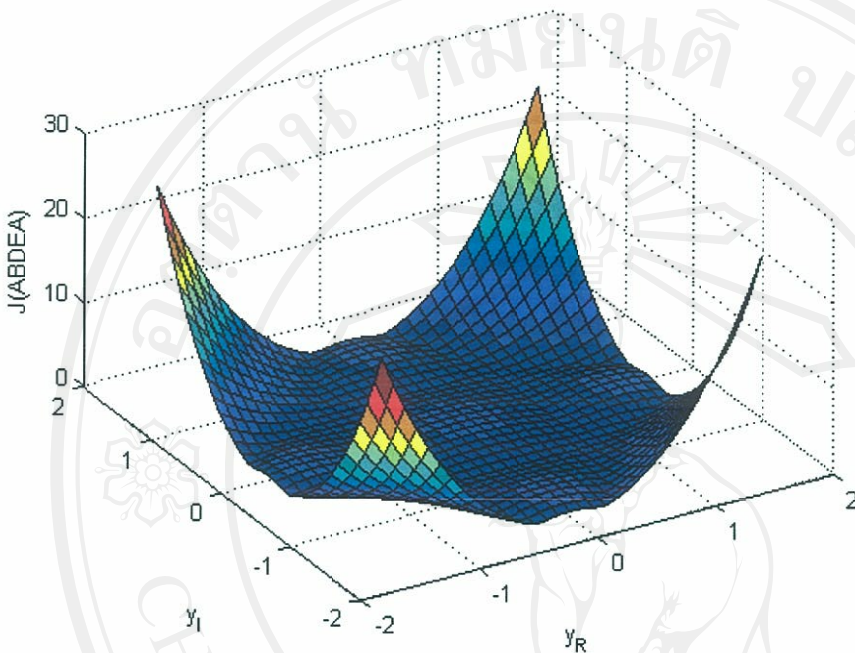
รูปที่ 3.11 ผลลัพธ์หลังจากที่ทำอีควาไอลเซชันกับสัญญาณข้อมูลแบบ 16-QAM ที่ถูกหนุนไป 60 องศา (หมุนทวนเข็มนาฬิกา)

### 3.4 อัลกอริทึมดับเบิล椭ีพส์กับความหมายของค่ายกกำลัง $p$

หลังจากที่เราได้นำเสนออัลกอริทึมดับเบิล椭ีพส์แบบเจนเนอรอลไลส์แล้ว สิ่งที่ยังไม่ได้กล่าวถึงคือ ผลกระทบของค่ายกกำลัง  $p$  ที่มีต่ออัลกอริทึมดับเบิล椭ีพส์ และการทำงานของอัลกอริทึมดับเบิล椭ีพส์ เมื่อเราพิจารณาพื้นผิวโคสท์ฟังก์ชันของอัลกอริทึมดับเบิล椭ีพส์ที่ค่ายกกำลัง  $p$  เท่ากับ 1 และ 2 จากรูปต่อที่ 3.3(a) และ 3.4(a) เราสามารถสังเกตได้ว่า พื้นผิวโคสท์ฟังก์ชันของอัลกอริทึมดับเบิล椭ีพส์ที่ค่ายกกำลัง  $p$  เท่ากับเลขคี่ จะมีส่วนที่มีค่าเป็นจำนวนติดลบ แต่ในทางกลับกันอัลกอริทึมดับเบิล椭ีพส์ที่ค่ายกกำลัง  $p$  เท่ากับเลขคู่ จะไม่มีส่วนที่ติดลบ เนื่องจากโคสท์ฟังก์ชันที่ค่ายกกำลังสูง (ทั้งกรณีเลขคู่และเลขคี่) ค่าของโคสท์ฟังก์ชันมีค่าสูงและพื้นผิวเป็นแนววราบ ทำให้เราไม่สามารถพิจารณารายละเอียดได้ เราจึงนำเสนออัลกอริทึมดับเบิล椭ีพส์แบบแอปโซลูท (Absolute Double-Ellipse Algorithm : ADEA) ซึ่งมีโคสท์ฟังก์ชันตามสมการต่อไปนี้

$$J(n) = E \left[ \left| \frac{y_R(n)^2}{R_1} + \frac{y_I(n)^2}{R_2} - R_{CMA}^2 \right| \cdot \left| \frac{y_R(n)^2}{R_2} + \frac{y_I(n)^2}{R_1} - R_{CMA}^2 \right| \right] \quad (3.17)$$

เนื่องอัลกอริทึมดับเบิลอีลิพส์แบบแอกโซลูทมีลักษณะที่คล้ายถึงกันอัลกอริทึมดับเบิลอีลิพส์กรณีที่มีค่ายกกำลังเป็นเลขคู่ แต่เราสามารถพิจารณาพื้นผิวได้ชัดเจนกว่า สามารถพิจารณาได้จากรูปที่ 3.12

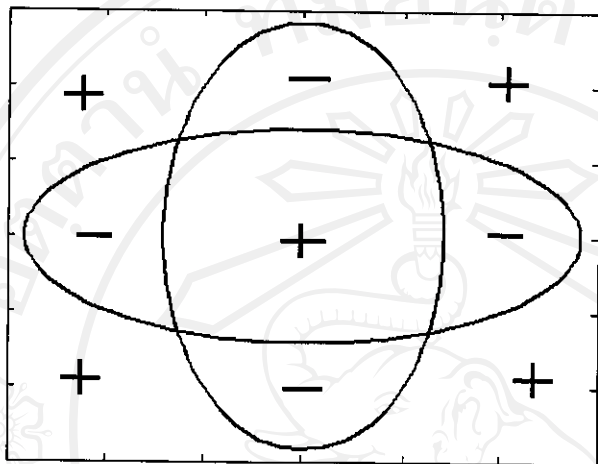


รูปที่ 3.12 พื้นผิวของคอกอสท์ฟังก์ชันตามแนวคิดอัลกอริทึมดับเบิลอีลิพส์แบบแอกโซลูท

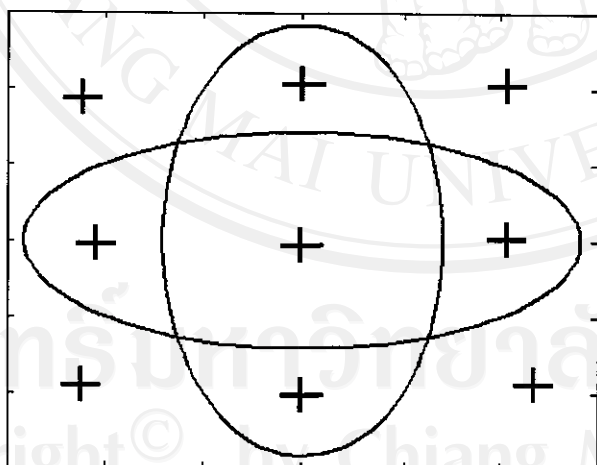
ในส่วนของบันทึก รายงานการทำงานของอัลกอริทึมดับเบิลอีลิพส์ ซึ่งแบ่งเป็นสองกรณีที่หนึ่ง การทำงานเมื่อค่ายกกำลังมีค่าเป็นจำนวนคี่ ซึ่งเราจะศึกษาจากค่ายกกำลังเท่ากับ 1 และกรณีที่สอง การทำงานเมื่อค่ายกกำลังมีค่าเป็นจำนวนคู่ โดยเราจะศึกษาจากอัลกอริทึมดับเบิลอีลิพส์แบบแอกโซลูท ซึ่งรายละเอียดจะกล่าวถึงในหัวข้อต่อไป เมื่อเราพิจารณาพื้นผิวคอกอสท์ฟังก์ชันที่มีค่ายกกำลังเป็นคี่ พิจารณาจากคอกอสท์ฟังก์ชันรายงานการสรุป บริเวณที่มีค่าเป็นบวกและลบสำหรับทั้งสองกรณี จะมีขอบเขตดังรูปที่ 3.13 สำหรับกรณีที่ค่ายกกำลังเป็นคี่และรูปที่ 3.14 สำหรับกรณีที่ค่าค่ายกกำลังเป็นคู่

ในกรณีที่อัตราส่วนระหว่างแกนหลักและแกนรองมีค่าน้อย ซึ่งในที่นี้จะยกตัวอย่างจากอัตราส่วนระหว่างแกนหลักและแกนรองที่มีค่าเท่ากับ 2 โดยการศึกษาต่อไปนี้ จะใช้สัญญาณค่อนสเตลเลชันแบบ 16-QAM ลักษณะของค่อนสเตลเลชันที่เหมาะสมกับอัลกอริทึมดับเบิลอีลิพส์ตามที่ได้กล่าวมานั้น สามารถพิจารณาได้จากรูปที่ 3.15

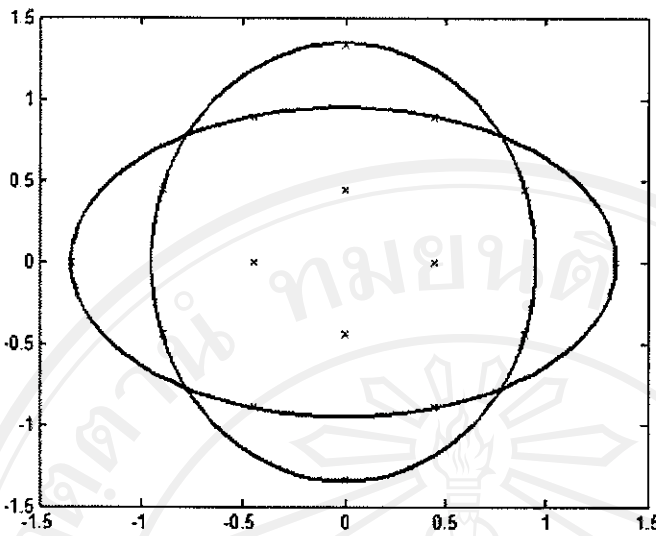
เพื่อที่จะเข้าใจถึงพฤษกรรมของอัลกอริทึมคับเบลอีลิปส์ เราจะกำหนดให้ค่า  $y_I(n)$  มีค่าคงที่ โดยให้มีค่าเท่ากับศูนย์ และปล่อยให้ค่า  $y_R(n)$  เปลี่ยนแปลง เราจะได้ภาพดังข้าง ซึ่งสามารถสังเกตการณ์การลู่เข้าหาค่าตอบของอัลกอริทึมคับเบลอีลิปส์ในที่ค่าค่ายกกำลังเป็นคี่ และกรณีที่ค่าค่ายกกำลังเป็นคู่



รูปที่ 3.13 กรณีที่ค่ายกกำลังเป็นคี่ บริเวณที่มีค่าเป็นบวกจะแทนด้วย +  
และบริเวณที่มีค่าเป็นลบจะแทนด้วย -



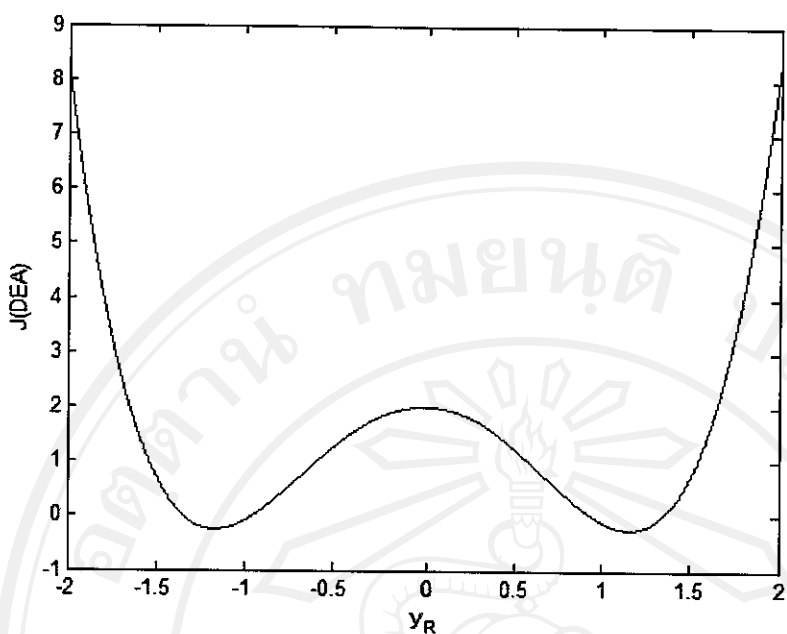
รูปที่ 3.14 กรณีที่ค่ายกกำลังเป็นคู่และแอพโซลูท บริเวณที่มีค่าเป็นบวกจะแทนด้วย +



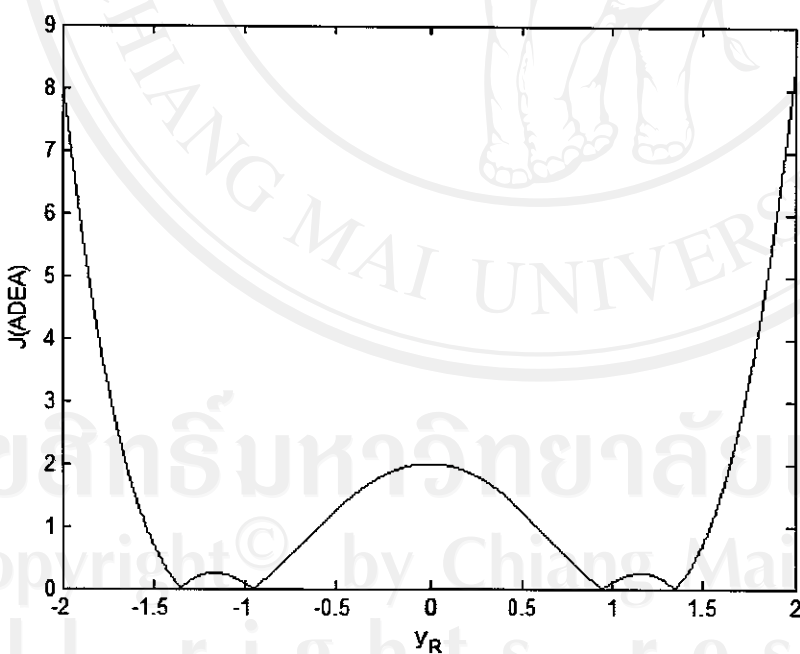
รูปที่ 3.15 ลักษณะค่อนسطेलเลชันที่สามารถลดค่าคօสท์ฟังก์ชันได้ต่ำสุด ในกรณีที่สัญญาณเป็น 16-QAM และขนาดของอัตราส่วนระหว่างแกนหลักและแกนรองเท่ากับ 2

สำหรับภาพตัดขวางคօสท์ฟังก์ชันของอัลกอริทึมดับเบิลเบลือลิพส์ที่ค่ายกกำลังเท่ากับ 1 และอัลกอริทึมดับเบิลเบลือลิพส์แบบแอพอโซลูทเมื่ออัตราส่วนระหว่างแกนหลักและแกนรองเท่ากับ 2 นั้น สามารถพิจารณาได้จากรูปที่ 3.16 และรูปที่ 3.17 เราจะสังเกตถึงคำแนะนำของจุดที่ทำให้ค่าของคօสท์ฟังก์ชันเท่ากับศูนย์นี้ มีคุณสมบัติที่แตกต่างกัน เมื่อค่ายกกำลังเท่ากับ 1 จุดที่คօสท์ฟังก์ชันเท่ากับศูนย์จะไม่ใช่จุดที่อยู่ต่ำสุด เช่นที่เกิดกับกรณีอัลกอริทึมดับเบิลเบลือลิพส์แบบแอพอโซลูท โดยภาพตัดขวางช่วยเราวิเคราะห์ถึงผลของพื้นผิวคօสท์ฟังก์ชันที่มีด่อลักษณะผลลัพธ์

เมื่อเราพิจารณาภาพตัดขวางทั้งสอง และลักษณะค่อนسطेलเลชันที่สามารถลดค่าคօสท์ฟังก์ชันได้ต่ำสุด ในกรณีนี้ บริเวณที่เป็นจุดสนใจและเป็นส่วนที่ทำให้ผลลัพธ์มีการหมุนคือ บริเวณ ช่วง  $1 \leq y_R(n) \leq 1.5$  ของจำนวนจริงของสัญญาณ เรายืนว่าอัลกอริทึมดับเบิลเบลือลิพส์ทั้งแบบค่ายกกำลัง 1 และแอพอโซลูทจะบังคับให้ส่วนจำนวนจริงของสัญญาณเคลื่อนเข้าหาตำแหน่งศูนย์ ด้วยเหตุนี้ การทำงานของทั้งสองกรณีจะเหมือนกัน ผลที่ได้คือ ผลลัพธ์ของอิควาไลเซอร์จะถูกหมุนไป  $\frac{\pi}{4}$  เรเดียน แต่สิ่งที่เกิดขึ้นกับอัลกอริทึมดับเบิลเบลือลิพส์แบบค่ายกกำลัง 1 นั้นจะแตกต่างกันกับที่เกิดขึ้นกับอัลกอริทึมดับเบิลเบลือลิพส์แบบแอพอโซลูท เนื่องจากอัลกอริทึมดับเบิลเบลือลิพส์แบบค่ายกกำลัง 1 ใช้หลุมทั้งสี่ในการลดการกระจายของผลลัพธ์ที่ได้จากอิควาไลเซอร์ซึ่งมีพิจารณาแล้ว การทำงานของอัลกอริทึมดับเบิลเบลือลิพส์แบบค่ายกกำลัง 1 คล้ายคลึงกับอัลกอริทึมรีดิวคอนسطेलเลชันซึ่งเราจะกล่าวถึงอีกครั้งในบทต่อไป

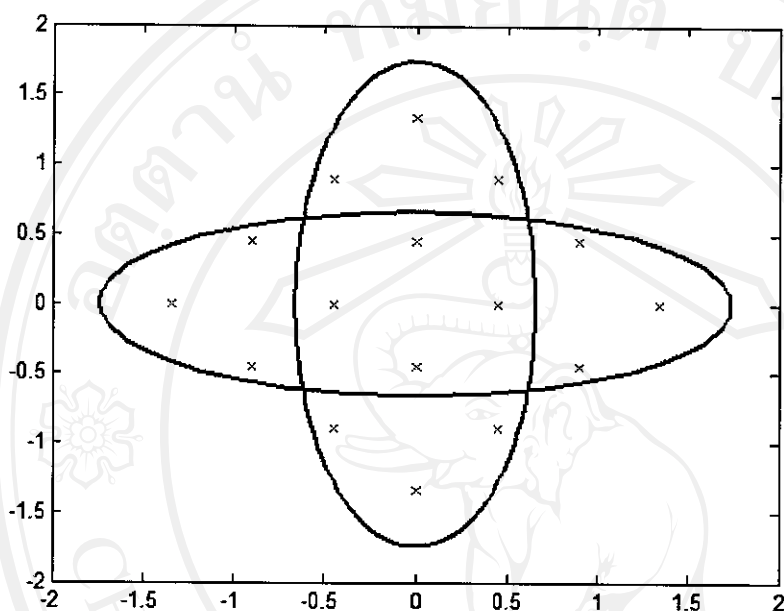


รูปที่ 3.16 ภาพตัดขวางของค่าฟังก์ชันที่ค่าขากำลังเท่ากับ 1 เมื่อข้อมูลเป็นสัญญาณแบบ 16-QAM ดำเนินการที่มีค่าเท่ากับศูนย์จะอยู่ระหว่างจุดสูงสุดและจุดต่ำสุด



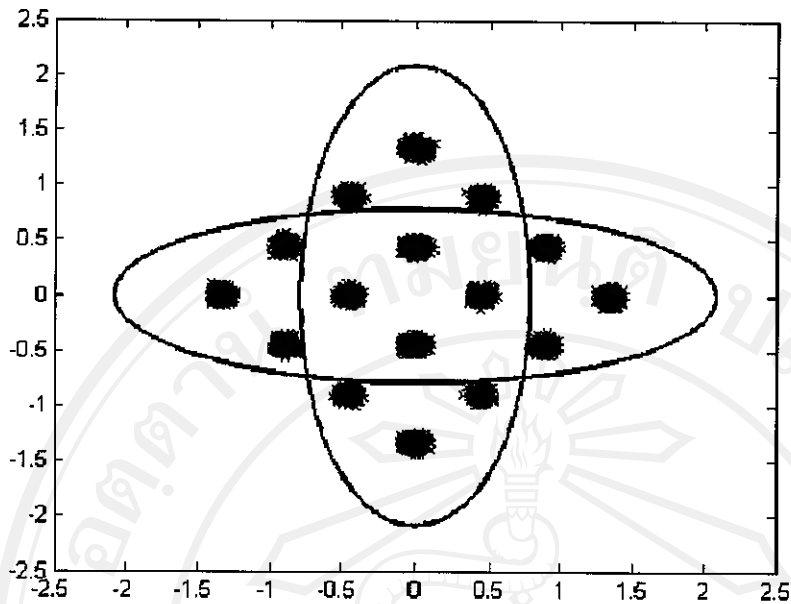
รูปที่ 3.17 ภาพตัดขวางของค่าฟังก์ชันอัลกอริทึมดับเบิลอีลิพส์แบบแอฟโซลูท เมื่อข้อมูลเป็นสัญญาณแบบ 16-QAM ซึ่งดำเนินการที่มีค่าเท่ากับศูนย์ณ จุดต่ำสุด

ในขณะที่อัลกอริทึมดับเบิลอีลิพส์ที่ค่ายกกำลังเท่ากับ 1 และอัลกอริทึมดับเบิลอีลิพส์แบบแอดไซคุทเมื่ออัตราส่วนเท่าระหว่างแกนหลักและแกนรองเท่ากับ 2 ทำงานเหมือนกัน กรณีที่อัตราส่วนระหว่างแกนหลักและแกนรองมีค่าเท่ากับ 7 จะให้ผลที่แตกต่างออกไป เราสามารถพิจารณาลักษณะของสเต็ปเลชันของสัญญาณที่เหมาะสมได้จากรูปด้านล่าง

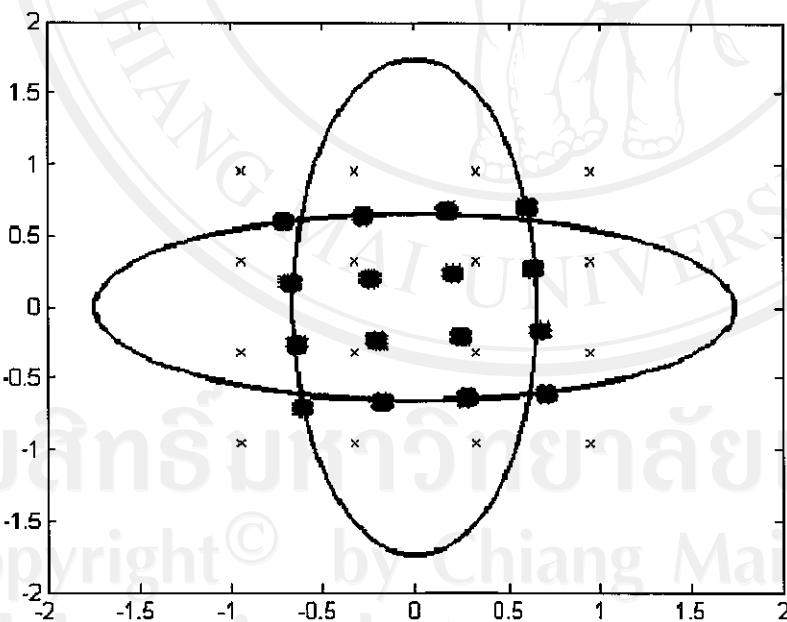


รูปที่ 3.18 ลักษณะของสเต็ปเลชันที่สามารถลดค่าคอกอฟฟ์ฟังก์ชันได้ต่ำสุด ในกรณีที่สัญญาณเป็น 16-QAM และขนาดของอัตราส่วนระหว่างแกนหลักและแกนรองเท่ากับ 7

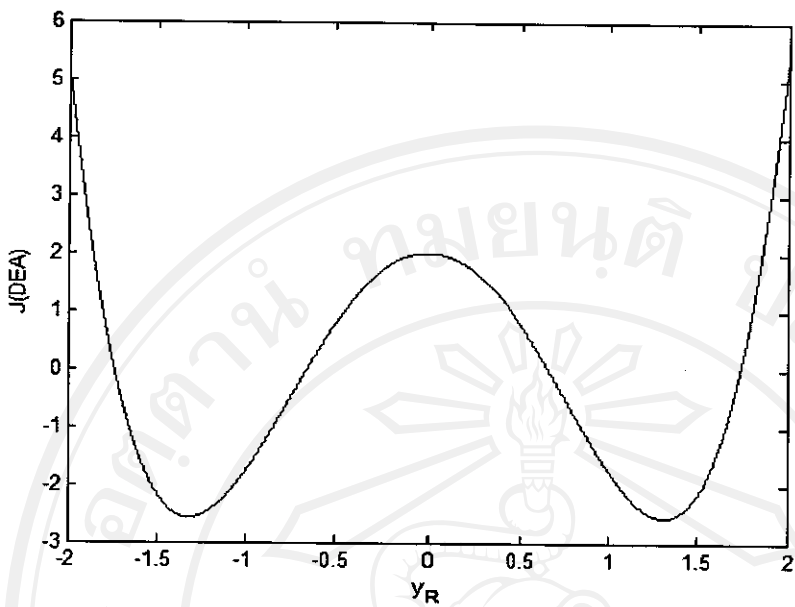
เมื่อเรากำหนดให้ค่าคงที่เท่ากันทั้งสองกรณี ผลที่ได้รับแตกต่างกันอย่างสิ้นเชิง พิจารณาจากรูปที่ 3.20 เราพบว่าอัลกอริทึมดับเบิลอีลิพส์แบบแอดไซคุทสามารถให้ค่าคอกอฟฟ์ฟังก์ชันลดลงได้มากกว่า  $\frac{\pi}{4}$  เเรเดียน แต่ผลลัพธ์ที่ได้จากการอัลกอริทึมดับเบิลอีลิพส์แบบแอดไซคุทนั้น อัลกอริทึมดับเบิลอีลิพส์แบบแอดไซคุทไม่ได้ใช้ทุกส่วนของโครงร่างอย่างที่เกิดขึ้น กับกรณีที่อัตราส่วนระหว่างแกนหลักและแกนรองมีค่าน้อย กรณีนี้อัลกอริทึมดับเบิลอีลิพส์แบบแอดไซคุทใช้ส่วนที่มีลักษณะคล้ายสี่เหลี่ยม ที่ได้รับจากการตัดกันของวงรีสองวงในการบังคับผลลัพธ์ที่ได้จากอีคัวไลเซอร์ ทำให้กรณีนี้ การทำงานของอัลกอริทึมดับเบิลอีลิพส์แบบแอดไซคุทคล้ายคลึงกับอัลกอริทึมสแควร์อนทั่ว ในทางตรงกันข้ามอัลกอริทึมดับเบิลอีลิพส์ค่ายกกำลัง 1 มีการทำงานเหมือนกับกรณีแรก เราสามารถอธิบายสาเหตุได้จากการศึกษาภาพด้านล่างดังรูปที่ 3.21 สำหรับกรณีที่ค่าค่ายกกำลังเป็นค่าเฉลี่ยรูปที่ 3.22 สำหรับกรณีที่ค่าค่ายกกำลังเป็นคู่



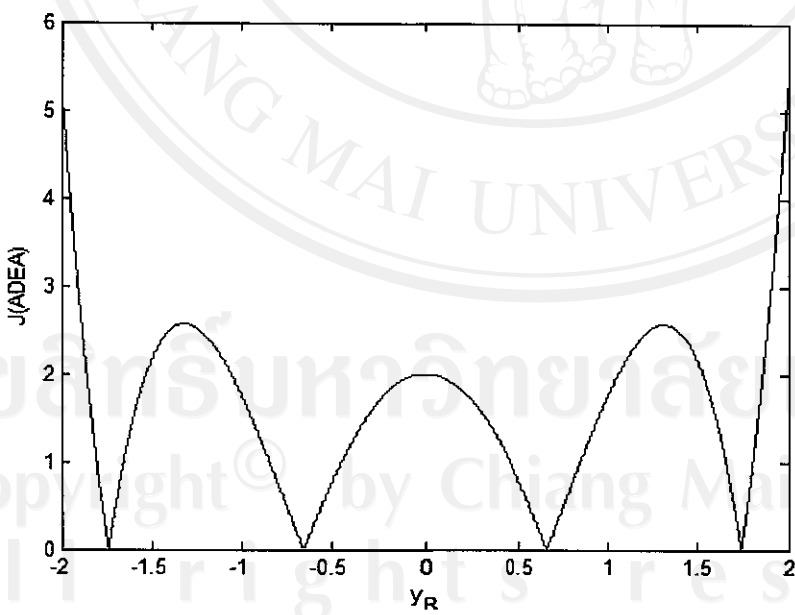
รูปที่ 3.19 ผลลัพธ์ที่ได้จากอัลกอริทึมดับเบลอีลิพส์ที่ค่ายกกำลังเท่ากับ 1 และการนำบทแทนจุดของสัญญาณที่ถูกต้อง จำนวนของข้อมูลเท่ากับ 10000



รูปที่ 3.20 ผลลัพธ์ที่ได้จากอัลกอริทึมดับเบลอีลิพส์แบบแอฟโซลูทและการนำบทแทนจุดของสัญญาณที่ถูกต้อง จำนวนของข้อมูลเท่ากับ 10000



รูปที่ 3.21 ภาพตัดขวางของคอกสท์ฟังก์ชันอัลกอริทึมดับเบิลอีลิพส์ที่ค่ายกกำลังเท่ากับ 1 เมื่อข้อมูลเป็นสัญญาณข้อมูลแบบ 16-QAM ตำแหน่งที่มีค่าเท่ากับศูนย์จะอยู่ระหว่างจุดสูงสุดและจุดต่ำสุด



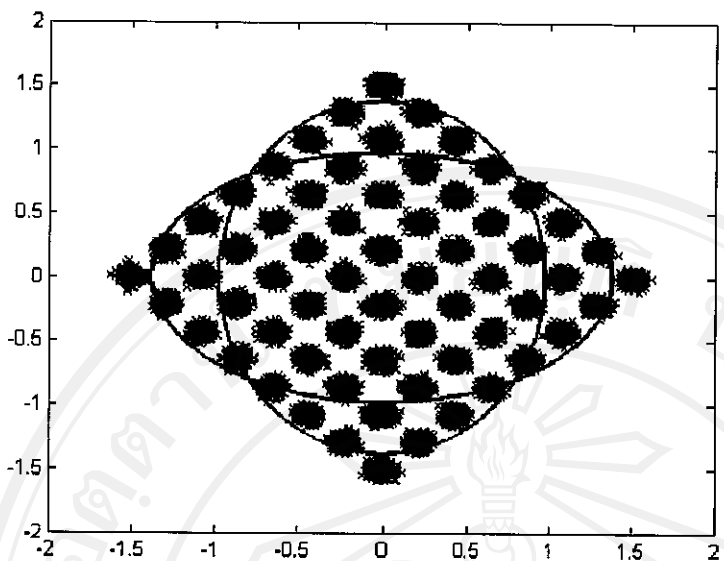
รูปที่ 3.22 ภาพตัดขวางของคอกสท์ฟังก์ชันอัลกอริทึมดับเบิลอีลิพส์แบบapo-โซลูท เมื่อข้อมูลเป็นสัญญาณข้อมูลแบบ 16-QAM ตำแหน่งที่มีค่าเท่ากับศูนย์ ณ จุดต่ำสุด

ภาพตัดขวางพื้นผิวคอสท์ฟังก์ชันของอัลกอริทึมดับเบิลอีลิปส์ค่ายกกำลัง 1 เมื่ออัตราส่วนระหว่างแกนหลักและแกนรองเท่ากับ 7 นั้น มีลักษณะที่ไม่แตกต่างจากการณ์ที่อัตราส่วนระหว่างแกนหลักและแกนรองเท่ากับ 2 การทำงานจึงเหมือนกับที่เกิดขึ้นกรณีที่อัตราส่วนระหว่างแกนหลักและแกนรองเท่ากับ 2 ผลที่ได้คือ ผลลัพธ์ของอีคาวาไลเซอร์มีลักษณะหมุนไป  $\frac{\pi}{4}$  เรเดียน และเนื่องจากมีการปรับตำแหน่งของหมุนให้สอดคล้องกับขนาดของรัศมี ทำให้ผลลัพธ์ที่ได้มีค่าเท่าเดิม ในทางกลับกันถึงแม้ว่าลักษณะภาพตัดขวางของอัลกอริทึมดับเบิลอีลิปส์แบบแอพอาร์กูท จะคล้ายคลึงกับกรณีที่อัตราส่วนระหว่างแกนหลักและแกนรองเท่ากับ 2 แต่เมื่อเราพิจารณาช่วง  $1 \leq y_R(n) \leq 1.5$  ส่วนจำนวนจริงของสัญญาณผลลัพธ์มีแนวโน้มที่จะใกล้ลงตำแหน่งศูนย์ที่ค่าประมาณ  $\pm 0.6$  เป็นผลให้ผลลัพธ์ที่ได้จากการณ์นี้จึงมีลักษณะคอนสแตลเลชันที่เป็นทรงสี่เหลี่ยมและไม่มีการหมุนไป  $\frac{\pi}{4}$  เเรเดียน เช่นที่เกิดขึ้นกับอัลกอริทึมดับเบิลอีลิปส์ค่ายกกำลัง 1

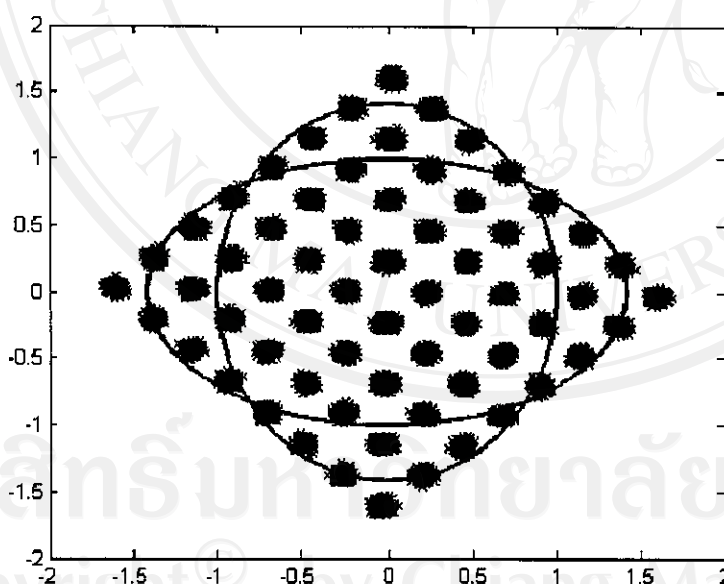
ผลที่ได้จากการศึกษาในส่วนนี้ แสดงให้เห็นว่า อัลกอริทึมดับเบิลอีลิปส์ที่มีค่ายกกำลังเป็นจำนวนคูณที่เป็นวงรีในการลดการกระจายของผลลัพธ์ที่ได้จากอีคาวาไลเซอร์แต่เสียรภาพในการถ่ายทอดที่ถูกต้องนั้นจะต่ำ เมื่ออัตราส่วนระหว่างแกนหลักและแกนรองเพิ่มมากขึ้นระบบจะไม่นำส่วนที่มีลักษณะเป็นวงรีมาใช้ทั้งหมด มีพฤติกรรมคล้ายคลึงกับอัลกอริทึมสแควคอนทัวร์และสำหรับอัลกอริทึมดับเบิลอีลิปส์ที่มีค่ายกกำลังเป็นเลขคู่นั้นมีลักษณะที่คล้ายครึ่งกับอัลกอริทึมรีคิวคอนสแตลเลชัน เพราะว่า อัลกอริทึมดับเบิลอีลิปส์ที่มีค่ายกกำลังเป็นเลขคู่ใช้หมุนสี่เหลี่ยมในการลดการกระจายของผลลัพธ์ที่ได้จากอีคาวาไลเซอร์ แต่รีคิวคอนสแตลเลชันใช้จุดในการลดการกระจายผลลัพธ์ที่ได้จากอีคาวาไลเซอร์จากการทดสอบกับสัญญาณข้อมูลแบบ 16-QAM

จากผลที่ได้รับ เราสามารถนำข้อมูลที่ได้ขยายผลที่ไปยังคอนสแตลเลชันที่สูงกว่าแบบ 16-QAM เช่นคอนสแตลเลชันแบบ 64-QAM และคอนสแตลเลชันแบบ 256-QAM พิจารณาได้จากรูปที่ 3.23 ถึงรูปที่ 3.26 สำหรับสัญญาณข้อมูลแบบ 64-QAM และรูปที่ 3.27 ถึงรูปที่ 3.30 สำหรับสัญญาณข้อมูลแบบ 256-QAM

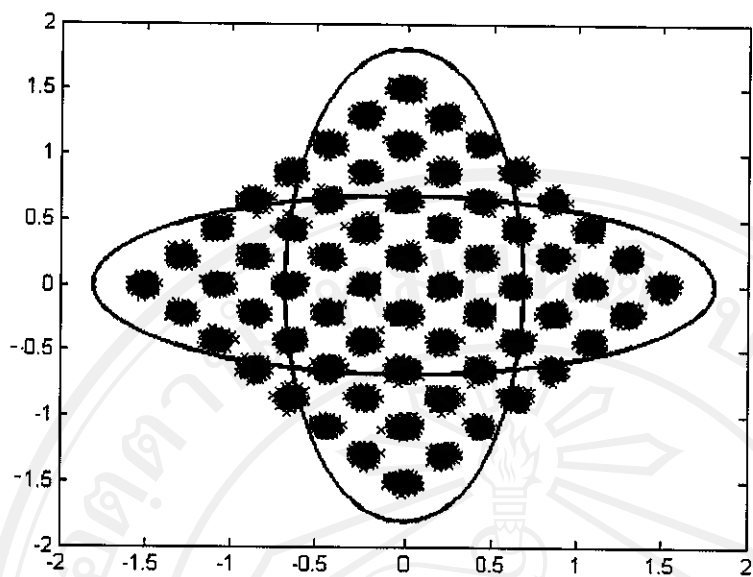
ที่ได้กล่าวมานั้น เป็นลักษณะของอัลกอริทึมดับเบิลอีลิปส์โดยรวม ในบทต่อไปนี้ เราจะศึกษาเกี่ยวกับอัลกอริทึมดับเบิลอีลิปส์แบบแอพอาร์กูทและแบบโนดิฟาย ซึ่งเป็นอัลกอริทึมที่ใช้อธิบายการทำงานของอัลกอริทึมดับเบิลอีลิปส์ที่มีค่ายกกำลัง  $p$  เป็นคู่และคู่ตามลำดับ และเราจะทำการทดสอบประสิทธิภาพของอัลกอริทึมดังกล่าว โดยเปรียบเทียบกับอัลกอริทึมคอนแสตนด์รูลัสและอัลกอริทึมรีคิวคอนสแตลเลชัน



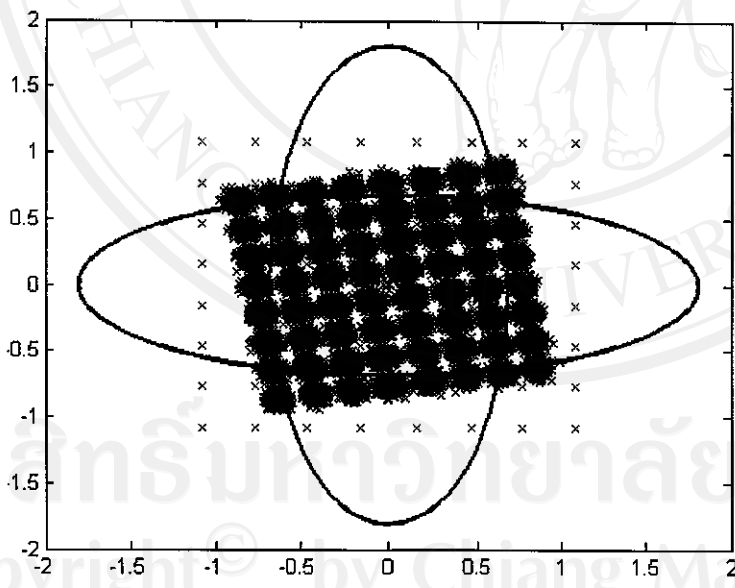
รูปที่ 3.23 ผลลัพธ์จากอัลกอริทึมดับเบิลเบลอลิพส์ที่ค่ายกกำลังเท่ากับ 1 ให้กากบาท  
แทนจุดสัญญาณที่ถูกต้อง บนสัญญาณข้อมูลแบบ 64-QAM  
และอัตราส่วนระหว่างแกนหลักและแกนรองเท่ากับ 2



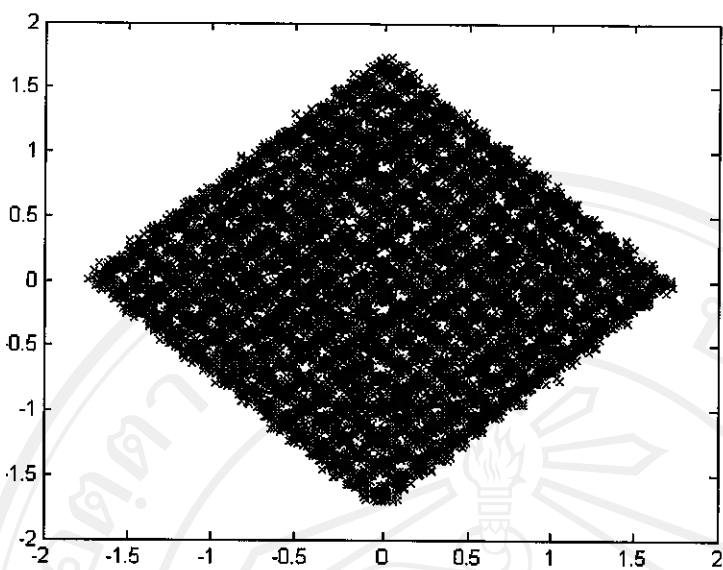
รูปที่ 3.24 ผลลัพธ์จากอัลกอริทึมดับเบิลเบลอลิพส์แบบโฉลุท ให้กากบาท  
แทนจุดสัญญาณที่ถูกต้อง บนสัญญาณข้อมูลแบบ 64-QAM  
และอัตราส่วนระหว่างแกนหลักและแกนรองเท่ากับ 2



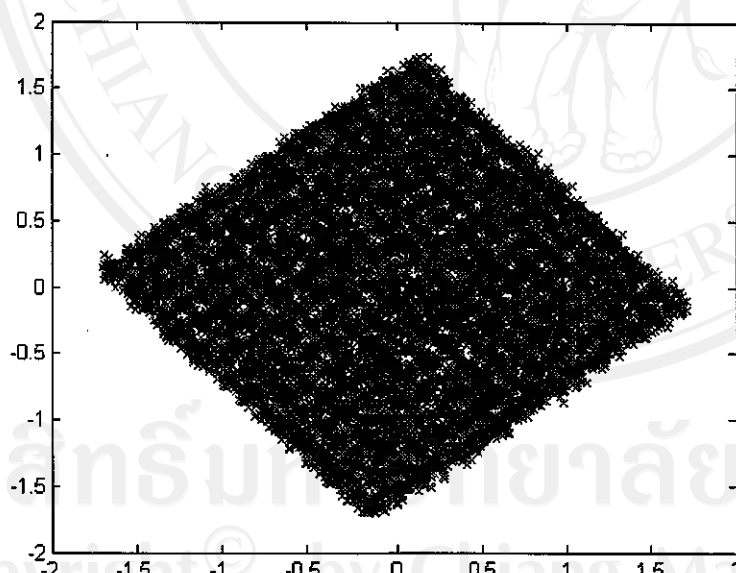
รูปที่ 3.25 ผลลัพธ์จากอัลกอริทึมดับเบิลเอลีพีส์ที่ค่ายกกำลังเท่ากับ 1 ให้กากบาท  
แทนจุดสัญญาณที่ถูกต้อง บนสัญญาณข้อมูลแบบ 64-QAM  
และอัตราส่วนระหว่างแกนหลักและแกนรองเท่ากับ 7



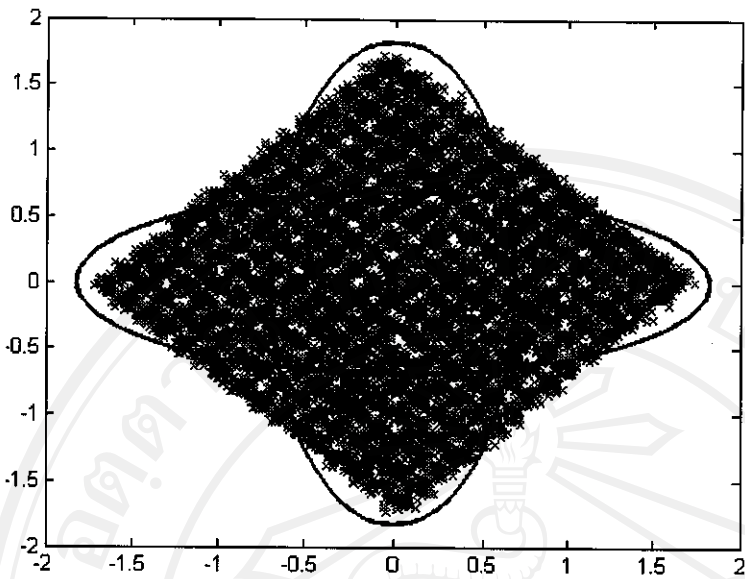
รูปที่ 3.26 ผลลัพธ์จากอัลกอริทึมดับเบิลเอลีพีส์แบบแอปโซลูท ให้กากบาท  
แทนจุดสัญญาณที่ถูกต้อง บนสัญญาณข้อมูลแบบ 64-QAM  
และอัตราส่วนระหว่างแกนหลักและแกนรองเท่ากับ 7



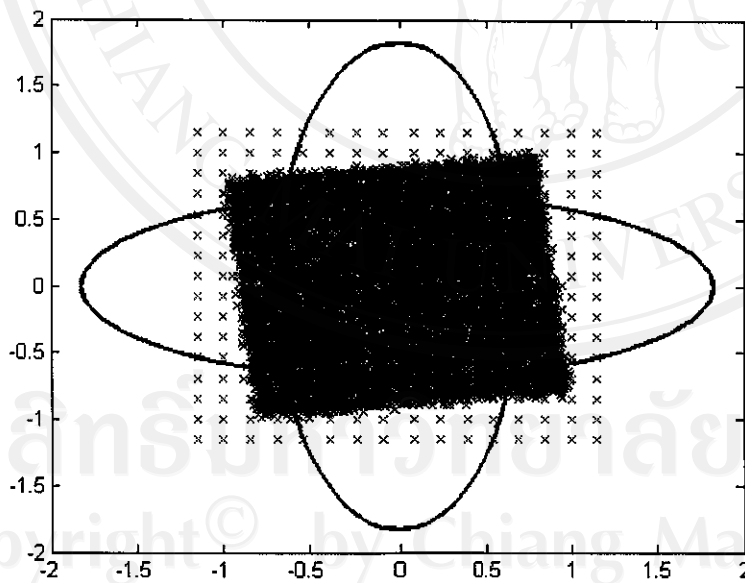
รูปที่ 3.27 ผลลัพธ์จากอัลกอริทึมค้นเบล อีลิพส์ที่ค่ายกกำลังเท่ากับ 1 ให้กากบาท  
แทนจุดสัญญาณที่ถูกต้อง บนสัญญาณข้อมูลแบบ 256-QAM  
และอัตราส่วนระหว่างแกนหลักและแกนรองเท่ากับ 2



รูปที่ 3.28 ผลลัพธ์จากอัลกอริทึมค้นเบล อีลิพส์แบบแอฟโซลูท ให้กากบาท  
แทนจุดสัญญาณที่ถูกต้อง บนสัญญาณข้อมูลแบบ 256-QAM  
และอัตราส่วนระหว่างแกนหลักและแกนรองเท่ากับ 2



รูปที่ 3.29 ผลลัพธ์จากอัลกอริทึมดับเบิลเอลิปส์ที่ค่ายกกำลังเท่ากับ 1 ให้กากบาท  
แทนจุดสัญญาณที่ถูกต้อง บนสัญญาณข้อมูลแบบ 256-QAM  
และอัตราส่วนระหว่างแกนหลักและแกนรองเท่ากับ 7



รูปที่ 3.30 ผลลัพธ์จากอัลกอริทึมดับเบิลเอลิปส์แบบแอฟโซลูท ให้กากบาท  
แทนจุดสัญญาณที่ถูกต้อง บนสัญญาณข้อมูลแบบ 256-QAM  
และอัตราส่วนระหว่างแกนหลักและแกนรองเท่ากับ 7